

京都大学防災研究所 正会員 土屋 美人
住友金属株式会社 正会員 上田 康裕

1. 緒言

波による砂れんの発生は漂砂の所産であるが、一方拡張法則を通じて、漂砂量則の確立に直接に関係する。従来、Bagnold をはじめとする数多くの実験と Inman らによる現地観測によって、かなり多くの特性がわかつてきた。けれども、これら実験および観測結果の統一的表示は見出されていない。それは両者の間に scale effect が存在するためと考えられる。したがって、本研究ではとくに、この点に着目して砂れん特性の統一表示を試みる。

2. 砂れんの波長

Bagnold の実験により、主に Inman らの観測結果において、すでに明らかにされているように、砂れんの波長は波による水粒子の軌道直徑に比例するが、それが大きくなると底質粒径に関係してくる。図-1 および 2 にはそれぞれ実験および観測結果を比較して示す。図中、 D_V は底質粒径、 d_0 は軌道直徑であり、 τ^* は Shields 数である。これらの図から、実験結果の大部分においては、波長は軌道直徑に比例するが、 $d_0/D > 10^3$ になると、これにほとんど関係しなくなり、むしろ τ^* に依存するこことがわかる。これに対して、観測結果の大部分は $d_0/D > 10^2$ あり、波長は軌道直徑に関係せず、 τ^* に依存するこことがより明白である。このことから、波による砂れん特性を次のように考える。

波による砂れんの特性は、 $d_0/D \approx 10^3$ 附近を境界として、実際に、実験規模と現地規模に分類して考えるべきであり、両者には明らかな scale effect が存在する。このことを漂砂構造について考えれば、前者は底質の移動に対して波による加速度の効果が卓越し、後者では加速度の効果よりも、底質粒径に依存する流れの場すなわち Shields 数に支配される。

図-2 の中には、図-1 に示した実験値のうち、 $d_0/D > 10^3$ のものをしてあるが、 τ^* をパラメータとして、規則値とほとんど同一の直線上で表されることで、この著者らの考え方を確認することができる。

3. 砂れんの波高

この場合も、全く同一の考え方によると、実験および観測結果を整理することができる。図-3 には Inman らによる観測値を示すが、波高 η については、 d_0/D がかなり大きくなるとこの考えは適用されない。Dingler らの述べているように、この観測値は波特性との対応の問題である。

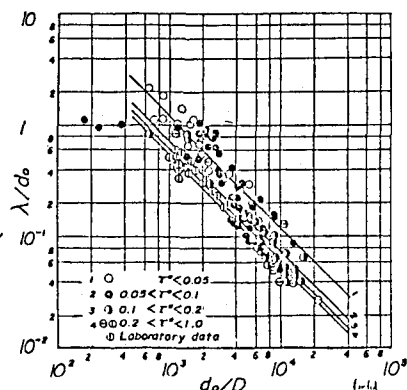


図-1 η/D と d_0/D の関係(1)

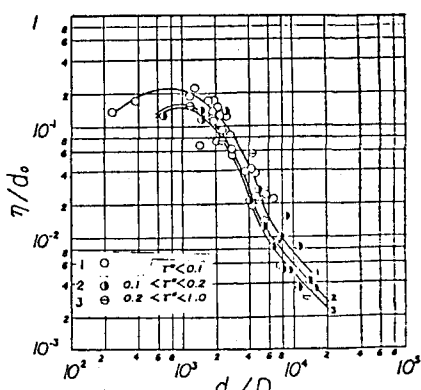


図-2 η/D と d_0/D の関係(2)

よしめ、波高が大きく現われているものと考えられる。本研究では、波長と全く同様に、波高の場合にも、 $d_0/D \approx 10^3$ を境界として実験より観測結果が分かれ、前者は主として水粒子の軌道直径に、後者は Shields 数に依存するものとする。

4. 砕れんの波形勾配

以上の考察の結果によれば、砕れんの波長および波高は $d_0/D < 10^3$ においては、

$$\frac{\partial}{d_0}, \frac{\eta}{d_0} = f(\bar{C}^*, \frac{U^* D}{\nu}) \quad (1)$$

である、また $d_0/D > 10^3$ においては、

$$\frac{\partial}{D}, \frac{\eta}{D} = g(\bar{C}^*, \frac{U^* D}{\nu}) \quad (2)$$

以上を表わされる。したがって、砕れんの波形勾配は次式で表される。

$$\frac{\eta}{\partial} = h(\bar{C}^*, \frac{U^* D}{\nu}) \quad (3)$$

ただし、いずれも砂粒 Reynolds 数 $U^* D/\nu$ の効果は著しくない。

図-3には、実験値による波形勾配 η/∂ の Shields 数 \bar{C}^* による変化を示すが、砂粒 Reynolds 数 $U^* D/\nu$ の効果はほとんど見出せない。底質の移動限界における Shields 数 \bar{C}^* に近づけば $\eta/\partial \rightarrow 0$ となり、またいわゆる sheet flow 状態ではやはり $\eta/\partial \rightarrow 0$ となると思われる。これに対して、現地規模を対象とした場合には、式(2)による関係は図-4のようになり、 \bar{C}^* および sheet flow 状態において、確かに $\eta/\partial \rightarrow 0$ となることがわかる。このことから、波形勾配の Shields 数による変化を示すと、図-5のようになるが、実験規模の場合と相違して、 \bar{C}^* および sheet flow 状態において $\eta/\partial \rightarrow 0$ となり、また $\bar{C}^* = 0.3$ 附近において最大値 0.16 をとることがわかる。

なお、図中には Yalin による流砂による砕れんの波形勾配と Shields 数との関係について水深・粒径比が分大きい場合の曲線を示しておいたが、このような統一的表示法によるとその対応が明確になる。このように、波による加速度の効果と底質によって決まる流れの状態、すなわち数との関係において、砕れん特性を統一表示できるであろう。

5. 結語

波による砕れんの形状特性は、底質粒径と水粒子の軌道直径との比 D/d_0 および Shields 数 \bar{C}^* との関係によつて表示されるが、 $d_0/D \approx 10^3$ 附近を境としてこれら両者の無次元量の寄与が異なり、現地海岸においては多くの場合、 $d_0/D > 10^3$ であつて、砕れんの特性が主として Shields 数によつて表わされることが結論することができた。

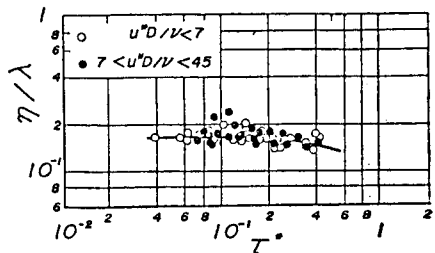


図-3 η/∂ の C^* による変化

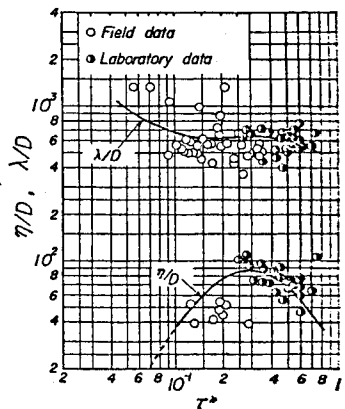


図-4 η/∂ , η/D の C^* による変化

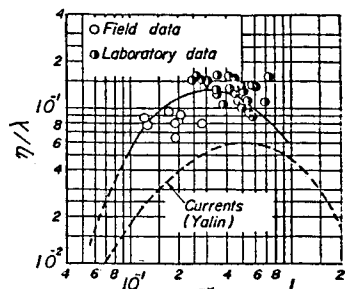


図-5 η/∂ の C^* による変化